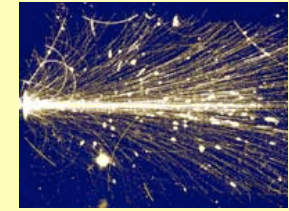


The background of the slide is a visualization of particle tracks, likely from a detector like ATLAS or CMS. It shows a dense field of golden-yellow lines and dots against a dark blue background, representing the paths of particles as they interact with matter. The tracks are most concentrated in the center and spread out towards the edges.

## **2. Wechselwirkung von Teilchen / Strahlung mit Materie**

**Detektoren in der Hochenergiephysik  
Univ.Doz.DI.Dr. Manfred Krammer  
Institut für Hochenergiephysik der ÖAW, Wien**

# 2. Wechselwirkung von Teilchen / Strahlung mit Materie – Inhalt



## 2.1 Wechselwirkung geladener Teilchen

- 2.1.1 Energieverlust durch  
Kollision (schwere  
Teilchen)
- 2.1.2 Energieverlust von  
Elektronen und Positronen
- 2.1.3 Bremsstrahlung
- 2.1.4 Čerenkov-Strahlung
- 2.1.5 Übergangsstrahlung

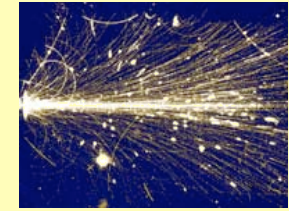
## 2.2 Wechselwirkung von Photonen

- 2.2.1 Photoeffekt
- 2.2.2 Compton-Streuung
- 2.2.3 Thomson- & Rayleigh-  
Streuung
- 2.2.4 Paarerzeugung

## 2.3 Hadronische Wechselwirkungen

## 2.4 Wechselwirkung von Neutrinos

## 2. Wechselwirkung von Teilchen / Strahlung mit Materie – Allgemeines



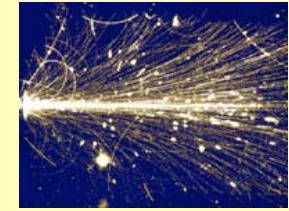
Hochenergetische Teilchen können bei ihrem Durchgang durch Materie auf verschiedenste Arten mit dem Target wechselwirken und dadurch Energie verlieren. Für die gesamte Energieverlustrate (=Energieverlust pro Wegeinheit) müssen die Beiträge von allen Prozessen addiert werden:

$$\begin{aligned} -\left(\frac{dE}{dx}\right)_{\text{tot}} = & -\left(\frac{dE}{dx}\right)_{\text{coll}} - \left(\frac{dE}{dx}\right)_{\text{rad}} - \left(\frac{dE}{dx}\right)_{\text{pair}} - \left(\frac{dE}{dx}\right)_{\text{photonucl}} \\ & - \left(\frac{dE}{dx}\right)_{\text{photoeff}} - \left(\frac{dE}{dx}\right)_{\text{compton}} - \left(\frac{dE}{dx}\right)_{\text{hadron}} \end{aligned}$$

Je nach Teilchenart und -energie sind bestimmte Prozesse dominant bzw. können manche Prozesse nicht auftreten. So können z.B. nur geladene Teilchen mit Hüllenelektronen kollidieren und so Ionisationsverluste erleiden. Bremsstrahlung ist insbesondere für Elektronen und Positronen von Bedeutung. Photoeffekt und Comptoneffekt treten nur bei Photonen auf, hadronischer Energieverlust (d.h. durch starke Ww. mit Targetkernen) nur bei Hadronen.

# 2.1 Wechselwirkung geladener Teilchen

## Allgemeines



**Wichtigster Punkt: Der Nachweis neutraler Teilchen erfolgt in der Regel ebenfalls über die Erzeugung geladener Teilchen.**

Nur die elektromagnetische Wechselwirkung ist hier von Bedeutung.

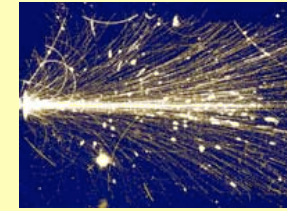
Beim Durchgang eines geladenen Teilchens durch Materie kann es zu folgenden Vorgängen kommen:

- ★ Ionisation der Detektoratome
- ★ Anregung der Detektoratome
- ★ Bremsstrahlung (relevant für Elektronen/Positronen)
- ★ Čerenkov-Strahlung
- ★ Übergangsstrahlung

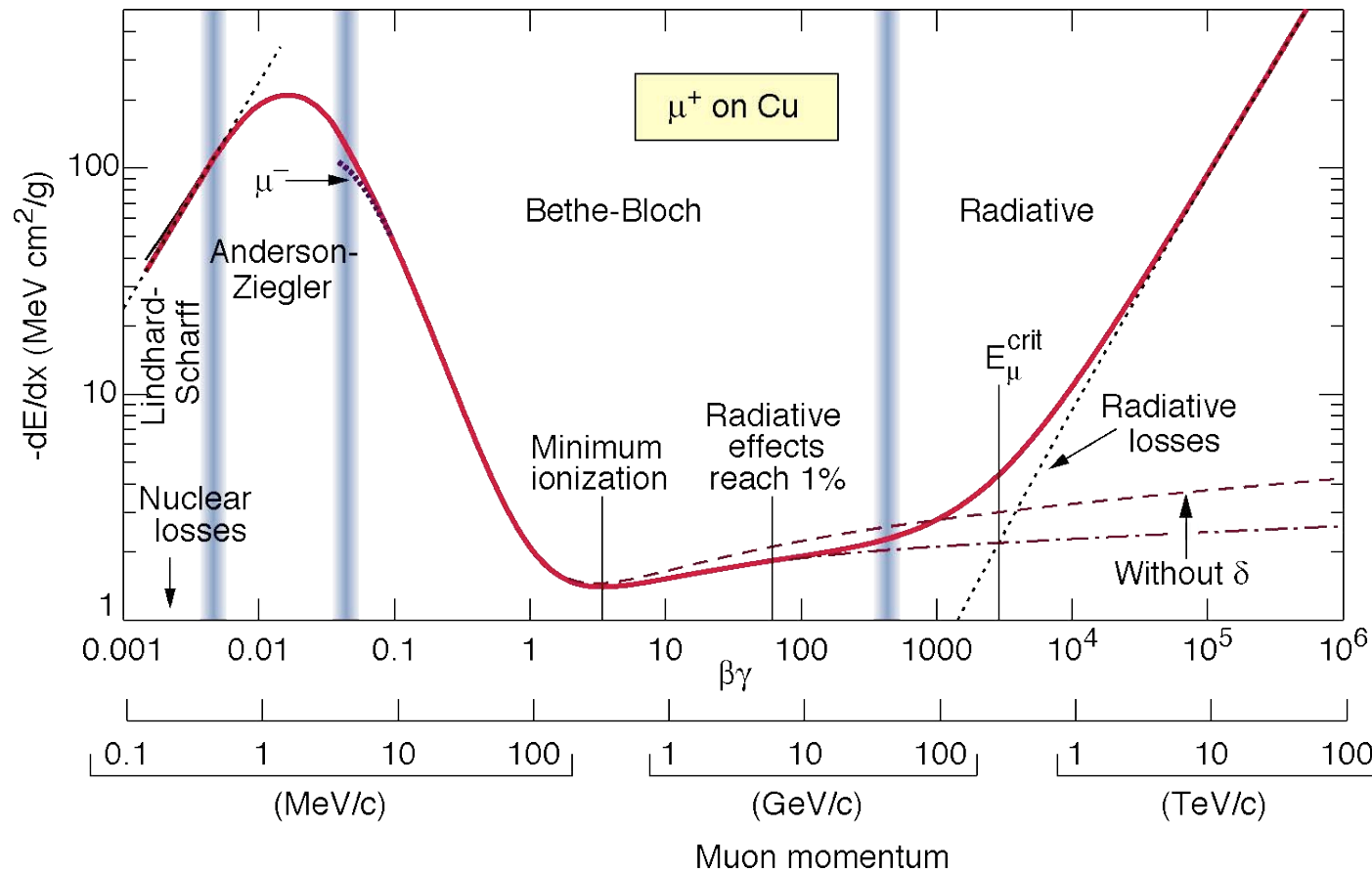
All diese Vorgänge tragen zum Energieverlust von Teilchen in Materie bei. Je nach Art und kinetischer Energie des Projektils ist ihr Anteil am Gesamtenergieverlust unterschiedlich hoch.

# 2.1 Wechselwirkung geladener Teilchen

## Energieverlust(rate), $dE/dx$ -Kurven



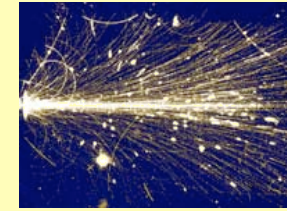
Gesamte Energieverlustrate  $-dE/dx$  für Myonen in Kupfer. Je nach Projektilenergie sind verschiedene Verlustmechanismen von Bedeutung.



Quelle: Particle Data Group, *Review of Particle Physics*, Physics Letters B 592 (2004)

## 2.1.1 Energieverlust durch Kollision

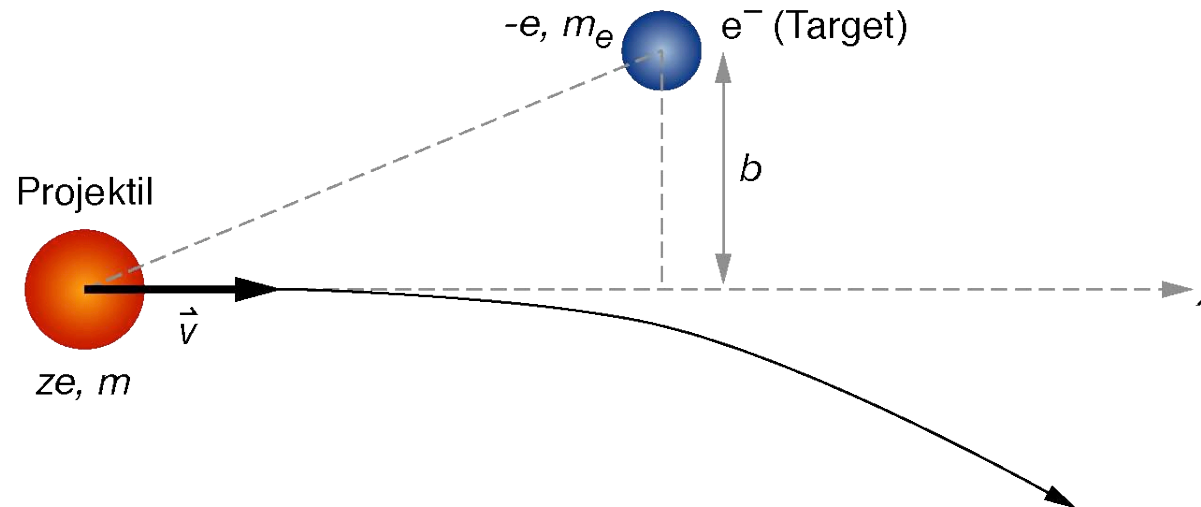
### Klassische Ableitung nach Bohr – 1



Betrachte den Energieverlust  $dE/dx$  eines **schweren** ( $m \gg m_e$ ), geladenen Teilchens durch Streuung an einem Hüllenelektron eines Targetatoms.

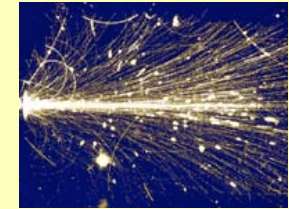
Annahmen:

- ★ Hüllenelektron sei stets in Ruhe, d.h. die ursprüngliche Bahnbewegung und der Rückstoß werden außer Acht gelassen (d.h. kurze Stoßdauer)
- ★ Bindung des Elektrons an den Atomkern wird vernachlässigt (d.h. Energieübertrag  $\gg$  Bindungsenergie eines Hüllenelektrons)



## 2.1.1 Energieverlust durch Kollision

### Klassische Ableitung nach Bohr – 2



Der **Impulsübertrag** ergibt sich aus dem Zeitintegral der durch das elektrische Feld des Projektils auf das Target einwirkenden Kraft.

Für die longitudinalen bzw. transversalen Komponenten des E-Feldes gilt:

$$E_{\ell}(-x) = -E_{\ell}(x) \quad \text{und} \quad E_t(-x) = E_t(x)$$

Daher heben sich die longitudinalen Komponenten im Impulsübertrag gegenseitig auf, es bleibt lediglich der Transversalanteil:

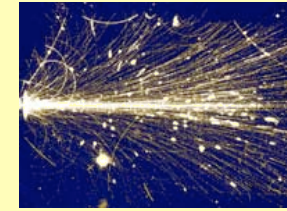
$$\Delta p = \int_{-\infty}^{\infty} F dt = \int_{-\infty}^{\infty} e E_t dt = e \int_{-\infty}^{\infty} E_t \frac{dt}{dx} dx = e \int_{-\infty}^{\infty} E_t \frac{1}{v} dx$$

Mit dem Gauß'schen Gesetz erhält man:

$$\int_{-\infty}^{\infty} E_t 2\pi b dx = 4\pi z e \quad \rightarrow \quad \int_{-\infty}^{\infty} E_t dx = \frac{2ze}{b}$$

## 2.1.1 Energieverlust durch Kollision

### Klassische Ableitung nach Bohr – 3



Man erhält also für den **Impulsübertrag**:

$$\Delta p = \frac{2ze^2}{vb}$$

Und für den **Energieübertrag** auf das Elektron:

$$\Delta E(b) = \frac{\Delta p^2}{2m_e} = \frac{2z^2e^4}{m_e v^2 b^2}$$

Eine Elektronendichte von  $n_e$  im Target ergibt daher einen Energieverlust von:

$$-dE(b) = \Delta E(b) n_e dV = \frac{2z^2e^4}{m_e v^2 b^2} n_e 2\pi b db dx$$

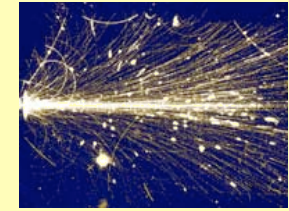
Nach **Integration von  $b_{min}$  bis  $b_{max}$**  erhält man daraus:

$$-\frac{dE}{dx} = \frac{4\pi z^2 e^4}{m_e v^2} n_e \ln \frac{b_{max}}{b_{min}}$$



## 2.1.1 Energieverlust durch Kollision

### Klassische Ableitung nach Bohr – 4



Die Abschätzung des **minimalen Stoßparameters**  $b_{min}$  folgt aus dem **kinematischen Limit**. Eine frontale Kollision liefert den maximalen Energieübertrag von :

$$\Delta E_{max} = \frac{1}{2} m_e (2v)^2 \gamma^2$$

Mit der oben abgeleiteten Beziehung

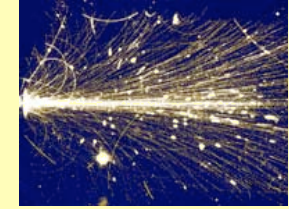
$$\Delta E(b) = \frac{2z^2 e^4}{m_e v^2 b^2}$$

ergibt sich daraus:

$$b_{min} = \frac{ze^2}{\gamma m_e v^2}$$

## 2.1.1 Energieverlust durch Kollision

### Klassische Ableitung nach Bohr – 5



Die Abschätzung des **maximalen Stoßparameters**  $b_{max}$  folgt aus dem Prinzip der **adiabatischen Invarianz**:

Die Targetelektronen sind in Atomen gebunden und “umkreisen” die Atomkerne mit einer mittleren Orbitalfrequenz  $\bar{\nu}$ .

Damit ein Energieübertrag stattfindet, muß die Zeitdauer der Störung,  $\Delta t$ , kürzer sein als die Periodendauer  $\tau$ :

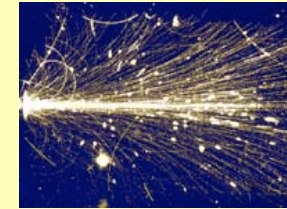
$$\Delta t = \frac{b}{\gamma v} \leq \tau = \frac{1}{\bar{\nu}}$$

Daraus folgt:

$$b_{max} = \frac{\gamma v}{\bar{\nu}}$$

## 2.1.1 Energieverlust durch Kollision

### Klassische Ableitung nach Bohr – 6



Einsetzen der Grenzen für den Stoßparameter in die Formel für den Energieverlust sowie Substitution von:

$$n_e = N_A \rho \frac{Z}{A}$$

$N_A$  ... Avogadrozahl  
 $\rho$  ... Targetdichte  
 $Z$  ... Ordnungszahl des Targets  
 $A$  ... Massenzahl des Targets

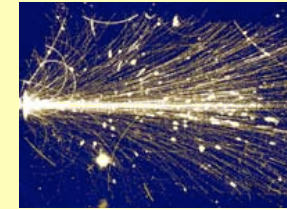
für die Elektronendichte des Targetmaterials, ergibt schließlich die **klassische Formel von Bohr**:

$$-\left(\frac{dE}{dx}\right)_{\text{coll}} = \frac{4\pi z^2 e^4}{m_e v^2} N_A \rho \frac{Z}{A} \ln \frac{\gamma^2 m_e v^3}{ze^2 \bar{v}}$$

Diese Formel beschreibt den Energieverlust für schwere Teilchen (Protonen,  $\alpha$ -Teilchen, ...) durch Anregung und Ionisation. Für leichte Teilchen müssen Quanteneffekte berücksichtigt werden.

# 2.1.1 Energieverlust durch Kollision

## Bethe-Bloch(-Sternheimer)-Formel



Die quantenmechanisch korrekte Berechnung des Energieverlustes durch Anregung und Ionisation erfolgt durch die **Bethe-Bloch(-Sternheimer)-Formel**:

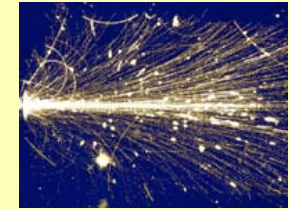
$$-\left(\frac{dE}{dx}\right)_{\text{coll}} = 2\pi N_A r_e^2 m_e c^2 \rho \frac{Z z^2}{A \beta^2} \cdot \left[ \ln\left(\frac{2m_e c^2 \gamma^2 \beta^2 W_{\text{max}}}{I^2}\right) - 2\beta^2 - \delta - 2\frac{C}{Z} \right]$$

$$\beta = \frac{v}{c}, \quad \gamma = \frac{1}{\sqrt{1-\beta^2}}, \quad r_e = \frac{1}{4\pi\epsilon_0} \cdot \frac{e^2}{m_e c^2} \dots \text{klassischer } e^- \text{ - Radius}$$

- $z$  ... Ladung des einfallenden Teilchens
- $Z, A$  ... Ordnungszahl und Massenzahl des Targets
- $\rho$  ... Targetdichte,  $N_A$  ... Avogadrozahl
- $I$  ... mittleres Ionisationspotential (Materialkonstante des Targets)
- $W_{\text{max}}$  ... max. Energieübertrag in einer Einzelkollision
- $\delta$  ... Dichtekorrektur (Polarisationseffekt,  $\delta \approx 2 \cdot \ln \gamma + K$ )
- $C$  ... Schalenkorrektur (wichtig für kleine Projektilgeschwindigkeiten)

## 2.1.1 Energieverlust durch Kollision

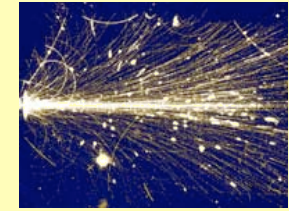
### Bemerkungen zur Bethe-Bloch(-Sternheimer)-Formel – 1



- ★ Beim Energieverlust handelt es sich um einen **statistischen Vorgang**.
- ★ Die **Bethe-Bloch-Formel** beschreibt den mittleren Energieverlust durch **Ionisation und Anregung** und gilt für alle Teilchen außer für  $e^-$  und  $e^+$ . Für sie gilt wegen Gleichheit der Massen eine eigene Stoßkinematik. Für  $e^-$  muß überdies die Ununterscheidbarkeit der Stoßpartner berücksichtigt werden.
- ★ Die Bethe-Bloch-Formel beschreibt den Energieverlust sehr gut im Bereich  **$0.1 < \gamma\beta < 100$** .
- ★ Die “triviale” Ableitung unterscheidet sich von der Bethe-Bloch-Formel numerisch durch einen Faktor 2. Der “fehlende” Faktor in der Formel nach Bohr ergibt sich durch die mangelhafte **Berücksichtigung von Fernstößen**.
- ★ Für die qm. Beschreibung des Energieverlustes gibt es **verschiedene Varianten der  $dE/dx$ -Formel**. Diese entstehen durch unterschiedliche **Parametrisierung der Fernstöße**, d.h. jenes Energieverlustes, bei dem die Bindung der  $e^-$  in den Atomhüllen nicht vernachlässigbar ist.

# 2.1.1 Energieverlust durch Kollision

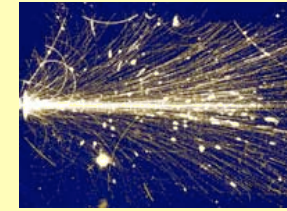
## Bemerkungen zur Bethe-Bloch(-Sternheimer)-Formel – 2



- ★ Die  $dE/dx$  Kurve nach Bethe-Bloch-Sternheimer weist 3 Bereiche auf:
  1. Bei niedrigen Energien ein  $(1/\beta)^2$ -Abfall bis zu einem Minimum (bei  $\beta\gamma$  ca. 3–3.5). Teilchen an diesem Punkt werden minimal ionisierende Teilchen (**mip = minimum ionising particle**) genannt.
  2. Danach ein **logarithmischer Anstieg** mit zunehmender Teilchenenergie, der sogenannte “relativistische Anstieg”.
  3. Für hohe Energien ergibt sich ein **Plateau** (“Fermi-Plateau”), der Energieverlust erreicht einen Sättigungswert. Dies entsteht durch die Polarisierungseffekte (Dichtekorrektur).
- ★ Meist wird statt Energieverlust pro Wegstrecke  $\frac{1}{\rho} \frac{dE}{dx}$  angegeben (trotzdem meist einfach nur  $dE/dx$  genannt, dann mit  $dx = \rho \cdot ds$  als sogenannter Massenbelegung,  $ds$  dabei die Wegstrecke in [cm],  $\rho$  die Dichte in [g/cm<sup>3</sup>]).
- ★  $\frac{1}{\rho} \frac{dE}{dx}$  **für ein mip** ist nur schwach vom Absorbermaterial abhängig und beträgt meist **ca. 2 MeVg<sup>-1</sup>cm<sup>2</sup>**. (H:  $\approx 4 \text{ MeVg}^{-1}\text{cm}^2$ , U:  $\approx 1 \text{ MeVg}^{-1}\text{cm}^2$ )

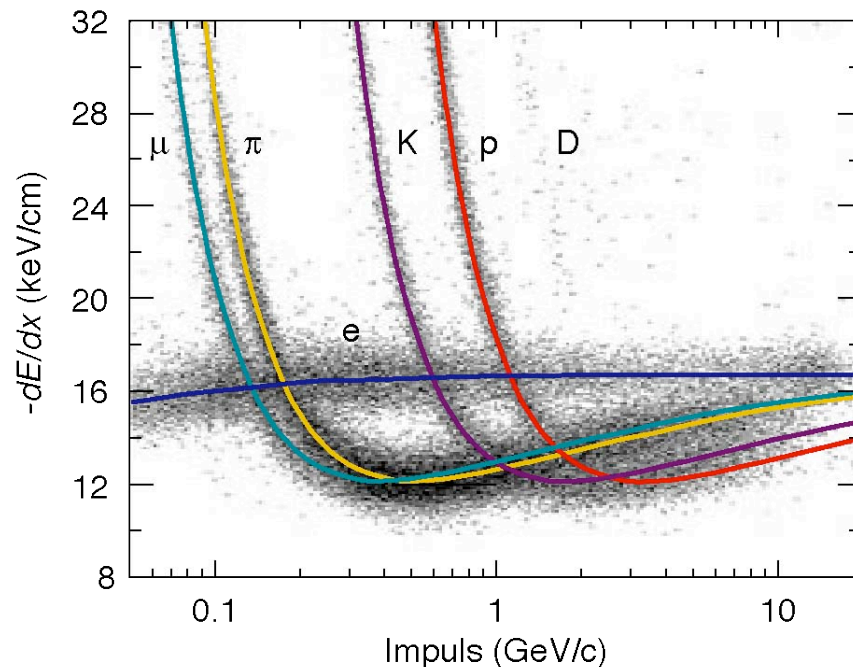
# 2.1.1 Energieverlust durch Kollision

## $dE/dx$ -Kurven für verschiedene Teilchen



Gesamte Energieverlustrate\*,  $-dE/dx$   
(=stopping power), für verschiedene  
Teilchen, gemessen in der PEP4/9-  
TPC (Ar-CH<sub>4</sub> = 80:20 @ 8.5 atm)

- d.h. nicht nur Verlust durch Kollision,  
sondern auch Bremsstrahlung etc.



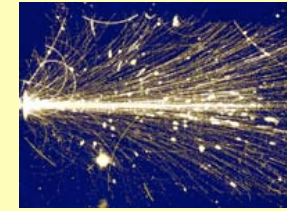
Beachte:

- ★  $dE/dx$  für “schwere” Teilchen wird in diesem Impulsbereich gut durch die Bethe-Bloch-Formel beschrieben, d.h hier dominiert der Energieverlust durch Ionisation und Anregung von Targetelektronen.
- ★  $dE/dx$  für  $e^-$  folgt *nicht* der Bethe-Bloch-Formel!

Quelle: Carsten Niebuhr, *DESY Summer Student Lecture*, 2004

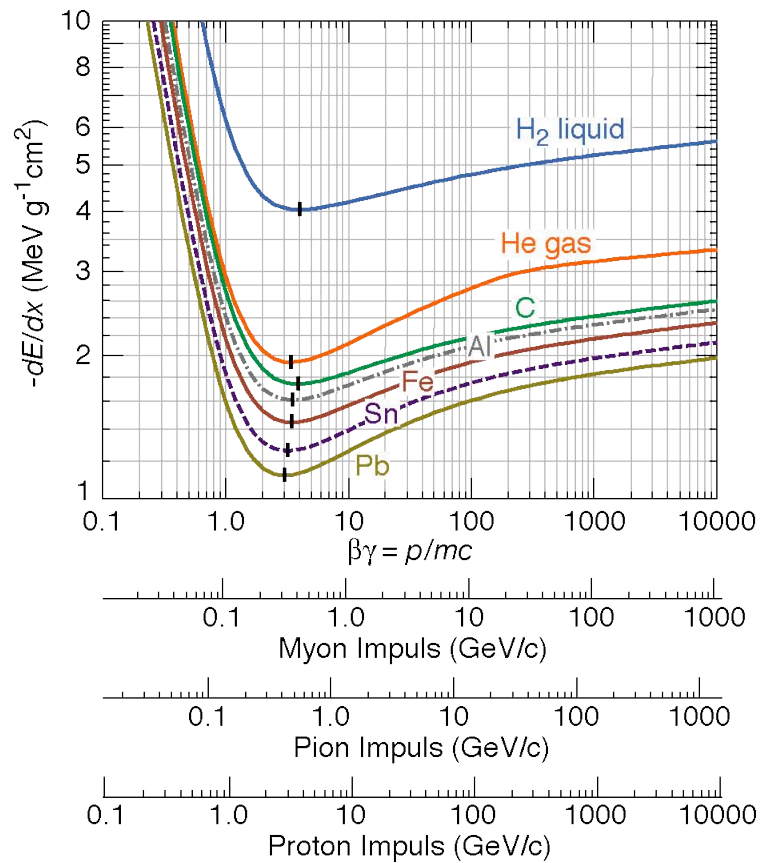
# 2.1.1 Energieverlust durch Kollision

## dE/dx-Kurven für verschiedene Targetmaterialien



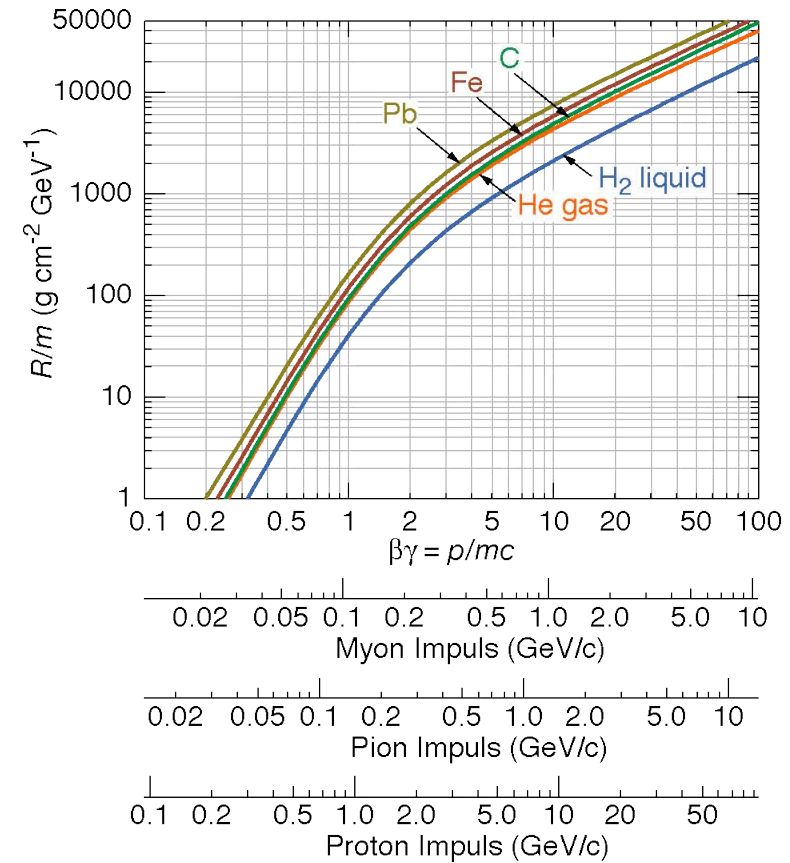
spezifischer Energieverlustrate durch Ionisation\*

\* d.h. ohne Bremsstrahlungsverluste



spezifische mittlere Reichweite‡

‡ eigentlich R/m, m ... Projektillmasse

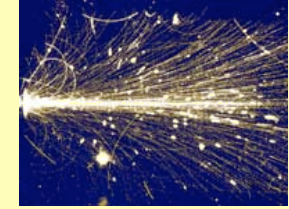


Quelle: Particle Data Group, Review of Particle Physics, Physics Letters B 592 (2004)



## 2.1.1 Energieverlust durch Kollision

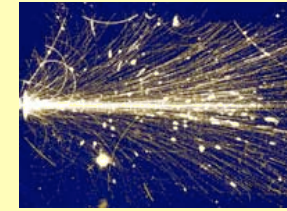
### Statistik des Energieverlustes: Landau-Verteilung



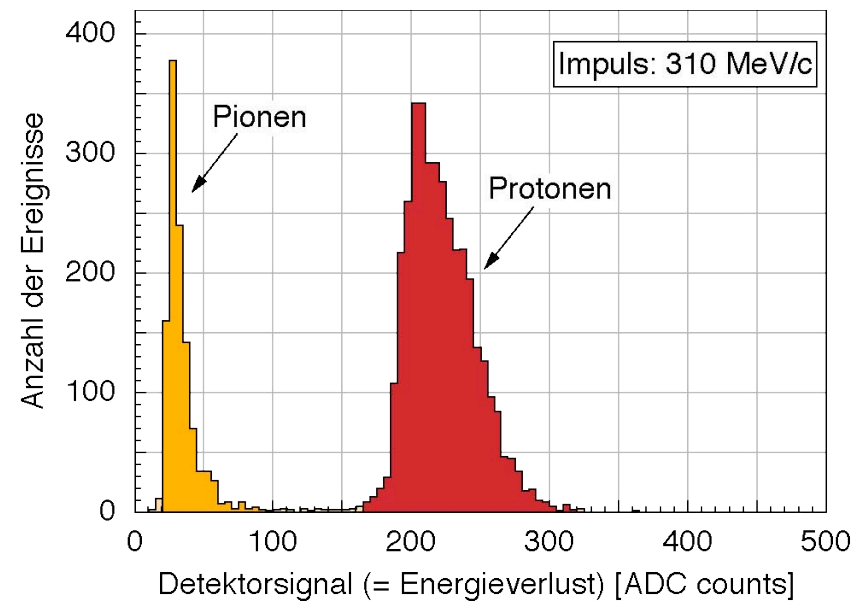
- ★ Der Energieverlust ist ein **statistischer Prozess**. Die Verteilungsfunktion ist im Allgemeinen **asymmetrisch**, da Kollisionen mit kleinem Energieübertrag wahrscheinlicher sind als solche mit großem Energieübertrag.
- ★ Der “Schwanz” bei hohen Energieüberträgen kommt von (selten auftretenden) Kollisionen mit kleinen Stoßparametern, bei welchen  $e^-$  mit großen Energien (keV), sogenannte  **$\delta$ -Elektronen**, freigesetzt werden.
- ★ Durch die Asymmetrie ist der mittlere Energieverlust höher als der wahrscheinlichste Energieverlust.
- ★ Für **dünne Absorber** kann der Energieverlust durch eine **Landau-Verteilung** beschrieben werden.
- ★ Für dicke Absorber geht die Landau-Verteilung allmählich in eine Gauß-Verteilung über.

## 2.1.1 Energieverlust durch Kollision

### Beispiele für Landau-Verteilungen



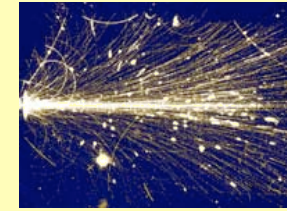
Energieverlust-Statistik  
für Pionen und Protonen:



Quelle: W. Adam et al., CMS note 1998/092 (1998)

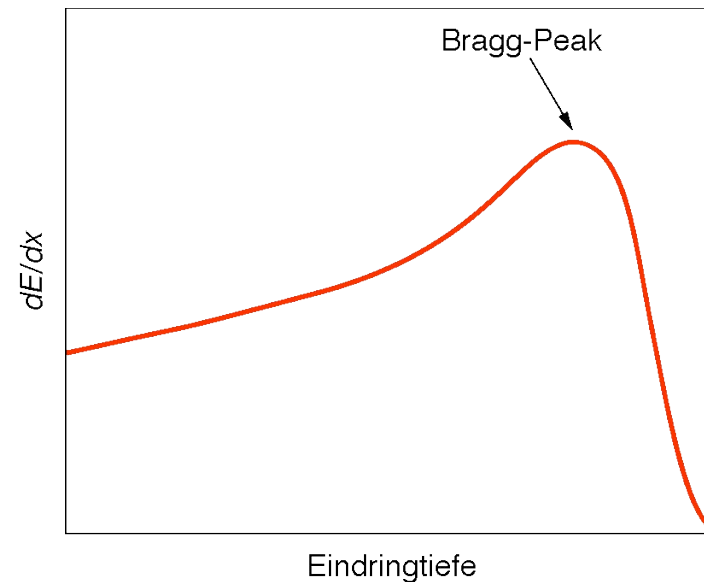
# 2.1.1 Energieverlust durch Kollision

## Bragg-Kurve



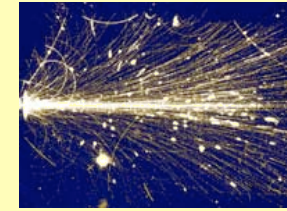
- ★ Anzahl der Kollisionen und Energieverlust variieren von Teilchen zu Teilchen (**statistischer Prozess**). Man kann daher für jede Projektil/Target-Kombination nur eine **mittlere Eindringtiefe** angeben.
- ★ Der Energieverlust eines Projektils in Abhängigkeit von der Eindringtiefe in das Target wird **Bragg-Kurve** genannt.
- ★ Mit Eindringen in Materie wird das Projektil langsamer. Dadurch steigt der Energieverlust (siehe Bethe-Bloch-Kurve).  
→ **Größter Ionisationsverlust nahe am Ende der Spur. = Bragg-Peak**  
(Dies wird z.B. bei der Tumorbestrahlung in der Medizin genutzt.)

Beispiel für eine Bragg-Kurve:



(schematisch)

## 2.1.2 Energieverlust von Elektronen und Positronen – 1



$e^\pm$  haben eine Sonderstellung durch ihre geringe Masse:

$$m_e \approx 511 \text{ keV}/c^2 \quad (m_\mu \approx 106 \text{ MeV}/c^2)$$

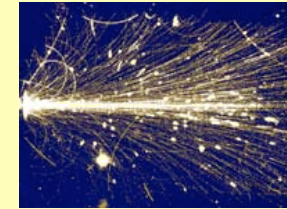
Zusätzlich zum Energieverlust durch Ionisation/Anregung hat daher noch der Energieverlust durch Bremsstrahlung maßgebliche Bedeutung:

$$-\left(\frac{dE}{dx}\right)_{\text{tot}} = -\left(\frac{dE}{dx}\right)_{\text{coll}} - \left(\frac{dE}{dx}\right)_{\text{rad}}$$

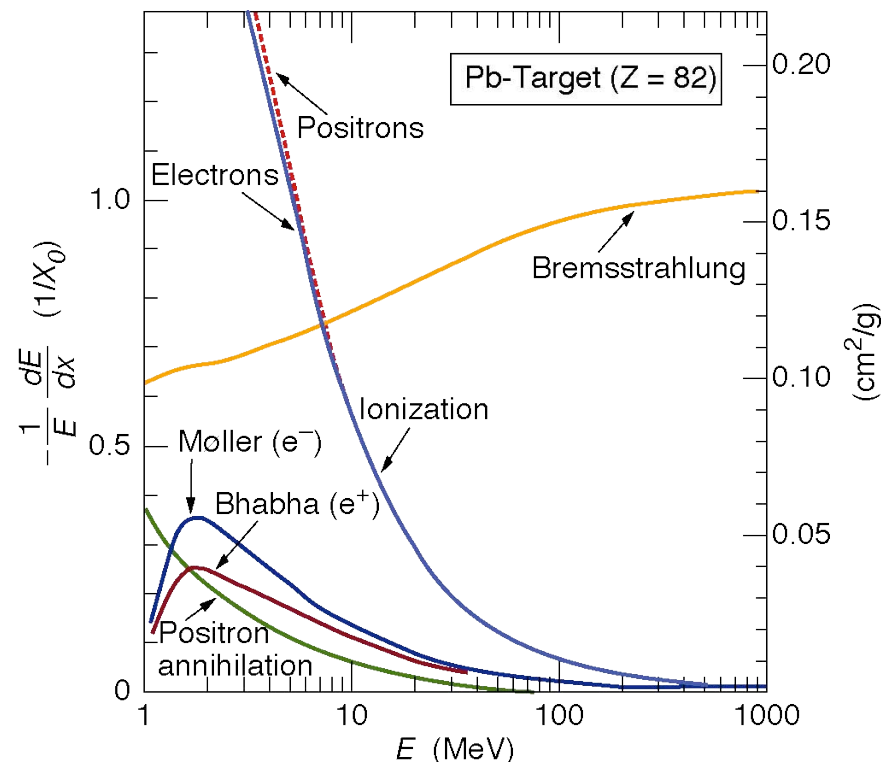
Beim Energieverlust durch Ionisation/Anregung muß die Bethe-Bloch-Formel modifiziert werden:

1. Wegen ihrer geringen Masse werden  $e^\pm$  bei einer Kollision signifikant abgelenkt.
2. Für  $e^-$  findet eine Kollision zw. quantenmechanisch nicht unterscheidbaren Teilchen statt.

## 2.1.2 Energieverlust von Elektronen und Positronen – 2



fraktioneller Energieverlust  
für Elektronen und Positronen:

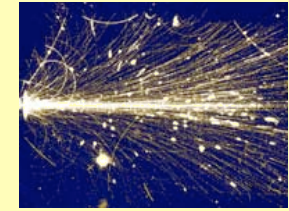


Quelle: Particle Data Group, *Review of Particle Physics*, Physics Letters B **592** (2004)

- ★ Ionisationsverluste steigen logarithm. mit  $E$  (und linear mit  $Z$ )
- ★ Bremsstrahlung steigt ca. linear mit  $E$  (und quadratisch mit  $Z$ )
- für hohe Energien (>1 GeV) ist Bremsstrahlung der dominierende Prozess
- ★  $e^-$  ( $e^+$ ) Streuung an Target-elektronen fällt unter Ionisation wenn der Energieübertrag pro Kollision unter 0.255 MeV liegt und unter Møller-Streuung (Bhabha-Streuung), wenn er darüber liegt.

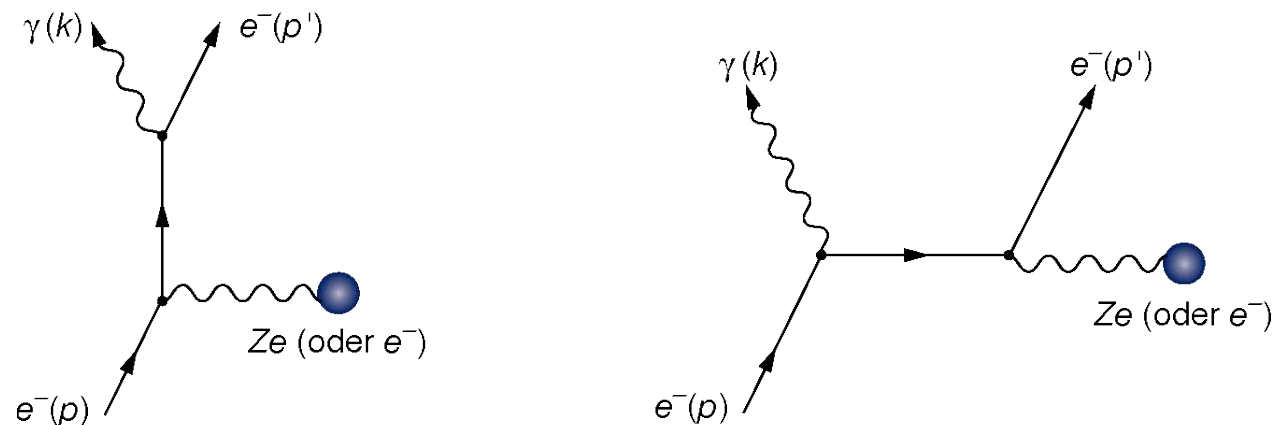
## 2.1.3 Bremsstrahlung

### Prinzip



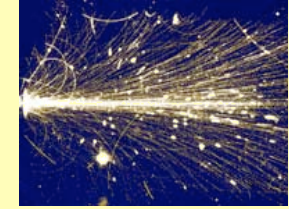
Bremsstrahlung wird emittiert, wenn (hochenergetische) geladene Teilchen in einem äußeren elektrischen Feld abgelenkt werden, z.B. im Coulomb-Feld eines Atomkerns oder eines Hüllenelektrons des Targets.

Feynman-Diagramme niedrigster Ordnung:



## 2.1.3 Bremsstrahlung

### Energieverlust durch Bremsstrahlung



Für hohe Energien kann der Energieverlust durch Bremsstrahlung angenähert werden durch:

$$-\left.\frac{dE}{dx}\right|_{\text{rad}} = 4\alpha \rho N_A \frac{Z(Z+1)}{A} Z^2 \left( \frac{1}{4\pi\epsilon_0} \cdot \frac{e^2}{mc^2} \right)^2 E \cdot \ln(183 Z^{-1/3})$$

$\alpha$  ... Feinstrukturkonstante  $\alpha \sim 1/137$

$Z(Z+1) = Z^2 + Z$ , der Beitrag  $Z^2$  kommt von der Ablenkung im Feld des Kerns (mit Ladung  $Ze$ ), der Beitrag  $Z$  von der Ablenkung im Feld der  $Z$  Hüllenelektronen (jeweils mit Ladung  $-e$ ).

In der obigen Formel wird *nicht* berücksichtigt, daß die Hüllenelektronen das Feld des Atomkerns teilweise abschirmen (ist daher nur für große  $E$  gültig).

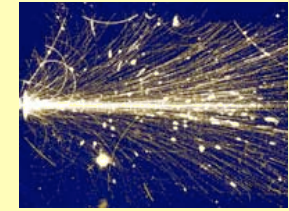
Beachte:

$$-\left(\frac{dE}{dx}\right)_{\text{rad}} \propto E \quad \text{und} \quad -\left(\frac{dE}{dx}\right)_{\text{rad}} \propto \frac{1}{m^2}$$

→ Bereits für das zweitleichteste Teilchen, das Myon, ist der Bremsstrahlungsverlust 40 000 mal kleiner als für das Elektron.

## 2.1.3 Bremsstrahlung

### kritische Energie $E_c$ – 1



Die kritische Energie  $E_c$  ist jene Energie eines Projektils, bei welcher der **Energieverlust durch Strahlung gleich dem Energieverlust durch Kollision** ist:

$$-\left(\frac{dE}{dx}\right)_{\text{rad}} \Big|_{E_c} = -\left(\frac{dE}{dx}\right)_{\text{coll}} \Big|_{E_c}$$

$E_c$  ist abhängig von der Teilchenart des Projektils und vom Targetmaterial. So nicht explizit anders gekennzeichnet, sind in der Literatur angegebene Werte für  **$E_c$  stets auf  $e^-$  bezogen**.

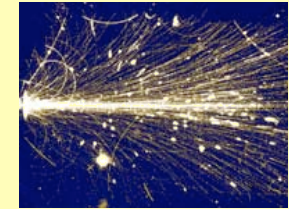
Die krit. Energie skaliert ca. mit dem Quadrat der Projektillmasse. Um also z.B. die krit. Energie für Myonen zu erhalten, verwendet man einfach:

$$E_c^\mu \approx E_c \cdot \left(\frac{m_\mu}{m_e}\right)^2$$



## 2.1.3 Bremsstrahlung

### kritische Energie $E_c - 2$



Alternative Def. von  $E_c$  von Rossi\*:  $E_c$  ist jene Energie, bei der der Ionisationsverlust pro Strahlungslänge gleich der  $e^-$ -Energie ist. Solange man die Näherung  $-(dE/dx)_{\text{rad}} \propto E$  benutzt, ist diese Definition identisch mit der obigen.

Zur *groben* Abschätzung von  $E_c$  wurden diverse Näherungen gegeben, z.B.:‡

$$E_c = \frac{800}{Z + 1.2} \text{ MeV}$$

aber auch z.B.\*

$$E_c = \frac{610}{Z + 1.24} \text{ MeV} \quad \text{für Festkörper}$$

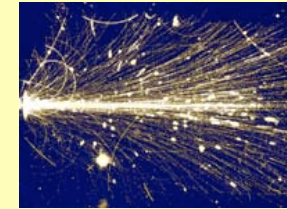
$$E_c = \frac{710}{Z + 0.92} \text{ MeV} \quad \text{für Gase}$$

‡ M.J. Berger and S.M. Seltzer, *Tables of Energy Losses and Ranges of Electrons and Positrons*, NASA-SP-3012, 1964

\* B. Rossi, *High Energy Particles*, Prentice-Hall Inc., 1952

## 2.1.3 Bremsstrahlung

### kritische Energie $E_c$ – 3



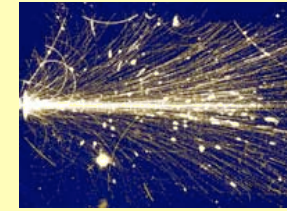
Auch die angegebenen Zahlenwerte für  $E_c$  schwanken relativ stark.  
Man findet z.B.:

Material	$E_c$ (MeV)
H <sub>2</sub> O	83–92
Luft (STP)	84–102
H <sub>2</sub>	340–350
C	90–103
Polystyrol	83–109
Fe	21–27
Pb	6.4–9.5

siehe z.B.: – C. Grupen, *Teilchendetektoren*, BI-Wissenschaftsverlag, 1993  
– W.R. Leo, *Techniques for Nuclear and Particle Physics Experiments*, Springer, 1987  
– K. Kleinknecht, *Detektoren für Teilchenstrahlung*, B.G. Teubner, 1992  
– D.H. Perkins, *Introduction to High Energy Physics*, Addison-Wesley, 1987

## 2.1.3 Bremsstrahlung

### Strahlungslänge $X_0 - 1$



Allgemein ist die Strahlungslänge  $X_0$  jene **Strecke, in der die Energie des Projektils durch Strahlungsverlust um einen Faktor  $1/e$  ( $\approx 63.2\%$ ) kleiner wird:**

$$E(x) = E_0 \cdot \exp\left(-\frac{x}{X_0}\right)$$

Diese Beziehung ist nur sinnvoll für Energien  $> E_c$ . In der Literatur sind die konkreten Werte für  **$X_0$  stets auf  $e^-$  bezogen**. Für andere Teilchen skaliert die Strahlungslänge mit dem Quadrat der Projektilmasse (ebenso wie bei  $E_c$ ).

Die oben gegebene Formel für die Bremsstrahlung führt für Elektronen auf eine Strahlungslänge von:

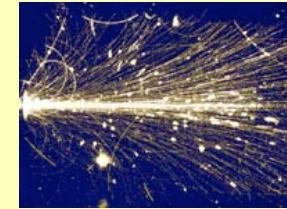
$$\frac{1}{X_0} = 4\alpha \rho N_A \frac{Z(Z+1)}{A} r_e^2 \cdot \ln(183 Z^{-1/3})$$

*Näherungsformel:*  
 $X_0 \text{ (g/cm}^2\text{)} \approx 180 A/Z^2$

Meist werden Materialdicken von Targets in Einheiten von  $X_0$  angegeben.  
→ Der Strahlungsverlust pro Targetdicke ist dann materialunabhängig.

## 2.1.3 Bremsstrahlung

### Strahlungslänge $X_0 - 2$

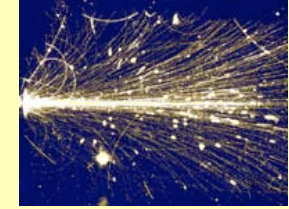


Meist wird die Strahlungslänge (analog zur Energieverlustrate) auf die Targetdichte bezogen ( $\rho X_0 \rightarrow X_0$ ) und folglich in  $[\text{g}/\text{cm}^2]$  angegeben:

Material	$X_0$ ( $\text{g}/\text{cm}^2$ )	$X_0$ (cm)
H <sub>2</sub> O	36.1	36.1
Luft (STP)	36.2	30050
H <sub>2</sub>	63	$7 \cdot 10^5$
C	43	18.8
Polystyrol	43.8	42.9
Fe	13.8	1.76
Pb	6.4	0.56

- siehe z.B.: – C. Grupen, *Teilchendetektoren*, BI-Wissenschaftsverlag, 1993  
– W.R. Leo, *Techniques for Nuclear and Particle Physics Experiments*, Springer, 1987  
– K. Kleinknecht, *Detektoren für Teilchenstrahlung*, B.G. Teubner, 1992  
– D.H. Perkins, *Introduction to High Energy Physics*, Addison-Wesley, 1987

## 2.1.4 Čerenkov-Strahlung



Čerenkov-Strahlung wird emittiert, wenn die Geschwindigkeit  $v$  eines Teilchens größer ist als die Lichtgeschwindigkeit in dem durchquerten Material:

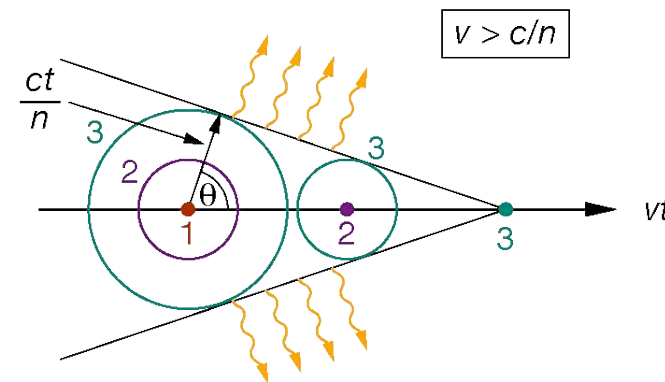
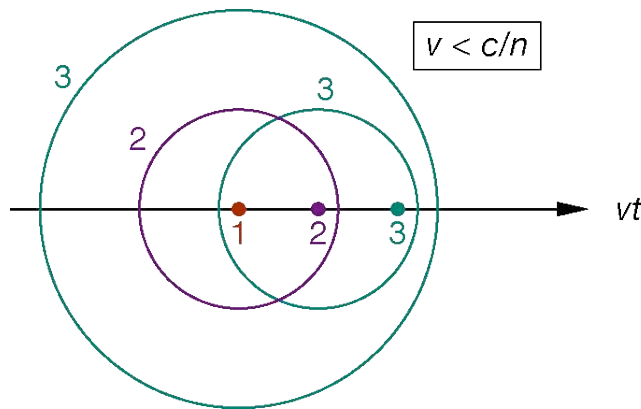
$$v > \frac{c}{n}$$

$c$  ... Vakuumlichtgeschwindigkeit  
 $n$  ... Brechungsindex

Dabei entsteht eine elektromagnetische Schockwelle. Diese kohärente Wellenfront hat konische Form und wird abgestrahlt unter einem Winkel von:

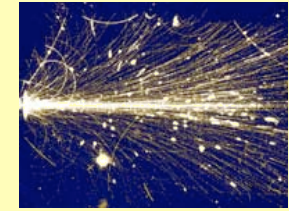
$$\cos \theta_C = \frac{1}{\beta n}$$

wobei :  $\beta = v/c$



## 2.1.5 Übergangsstrahlung

### Prinzip



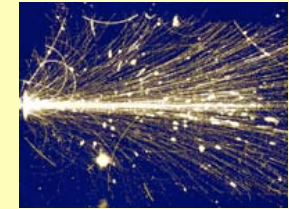
Übergangsstrahlung tritt auf, wenn ein geladenes Teilchen die Grenzfläche zw. 2 Materialien mit unterschiedlicher Dielektrizitätskonstante  $\varepsilon$  durchquert:

- In einem Material mit niedrigem  $\varepsilon$  ist die Polarisierung des Materials klein.  
→ Das elektrische Feld der bewegten Ladung hat daher eine große räumliche Ausdehnung.
- In einem Material mit hohem  $\varepsilon$  ist die Polarisierung des Materials groß.  
→ Das elektrische Feld der bewegten Ladung hat daher eine geringe räumliche Ausdehnung.

Die plötzliche Umverteilung der Ladungen an der Grenzfläche und die damit verbundene Änderung des elektrischen Feldes sind die Ursachen der Übergangsstrahlung.

## 2.1.5 Übergangsstrahlung

### Abstrahlwinkel und Energieverlust



Übergangsstrahlung wird hauptsächlich als Röntgenstrahlung (X-rays) emittiert. Die Emissionsrichtung liegt in der Bewegungsrichtung des Projektils innerhalb eines Konus mit dem Öffnungswinkel:

$$\cos \theta_t \approx \frac{1}{\gamma} \quad \text{wobei :} \quad \gamma = \frac{1}{\sqrt{1-\beta^2}}$$

Tritt ein Teilchen mit Ladung  $ze$  vom Vakuum in ein Medium mit der Plasmafrequenz  $\omega_p$  über, so liegt die als Übergangsstrahlung emittierte Energie bei ca.:

$$E_t = \frac{1}{3} \alpha Z^2 \gamma \hbar \omega_p$$

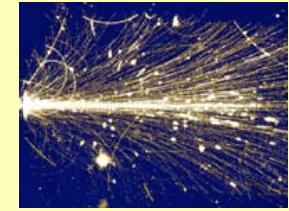
→ Mittels Energiemessung der Übergangsstrahlung kann man  $\gamma$  und somit die Projektilgeschwindigkeit bestimmen.

Für eine typische Photonenergie von  $\gamma \hbar \omega_p / 4$  ist die mittlere Anzahl von emittierten Photonen pro Grenzfläche (= Quantenausbeute) ungefähr:

$$\langle N \rangle = \frac{2}{3} \alpha Z^2$$

## 2.2 Wechselwirkung von Photonen

### Allgemeines



Die für Photonen relevanten Energiebereiche sind wie folgt:

- ★ UV-Licht: eV
- ★ Röntgenstrahlung (X-rays): eV–keV
- ★ Gammastrahlung ( $\gamma$ -rays): keV–MeV

Für die Detektion von Photonen sind die folgenden Primärprozesse relevant:

- ★ niedrige Energie: Photoeffekt
- ★ mittlere Energie: Compton-Streuung
- ★ hohe Energie: Paarerzeugung von  $e^+e^-$

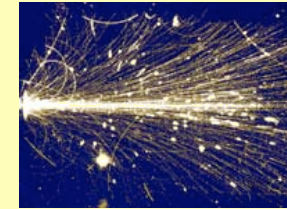
Diese Prozesse absorbieren bzw. streuen einzelne Photonen und entfernen sie dadurch aus dem Strahl. Folglich besteht hier ein großer Unterschied zur Wechselwirkung geladener Teilchen mit Materie:

Beim Durchgang eines Photonstrahls durch Materie bleibt die *Energie* der im Strahl verbleibenden Photonen *unverändert*. Es verringert sich allerdings die *Intensität* des Photonstrahls.



## 2.2 Wechselwirkung von Photonen

### Intensitätsabschwächung



Die Abschwächung eines Photonstrahls in Materie erfolgt **exponentiell** gemäß der Formel:

$$I(x) = I_0 \cdot e^{-\mu x}$$

- $I(x)$  ... Intensität bei Eindringtiefe  $x$   
 $I_0$  ... Intensität des einfallenden Strahls  
 $\mu$  ... Abschwächungs- bzw. Absorptionskoeffizient

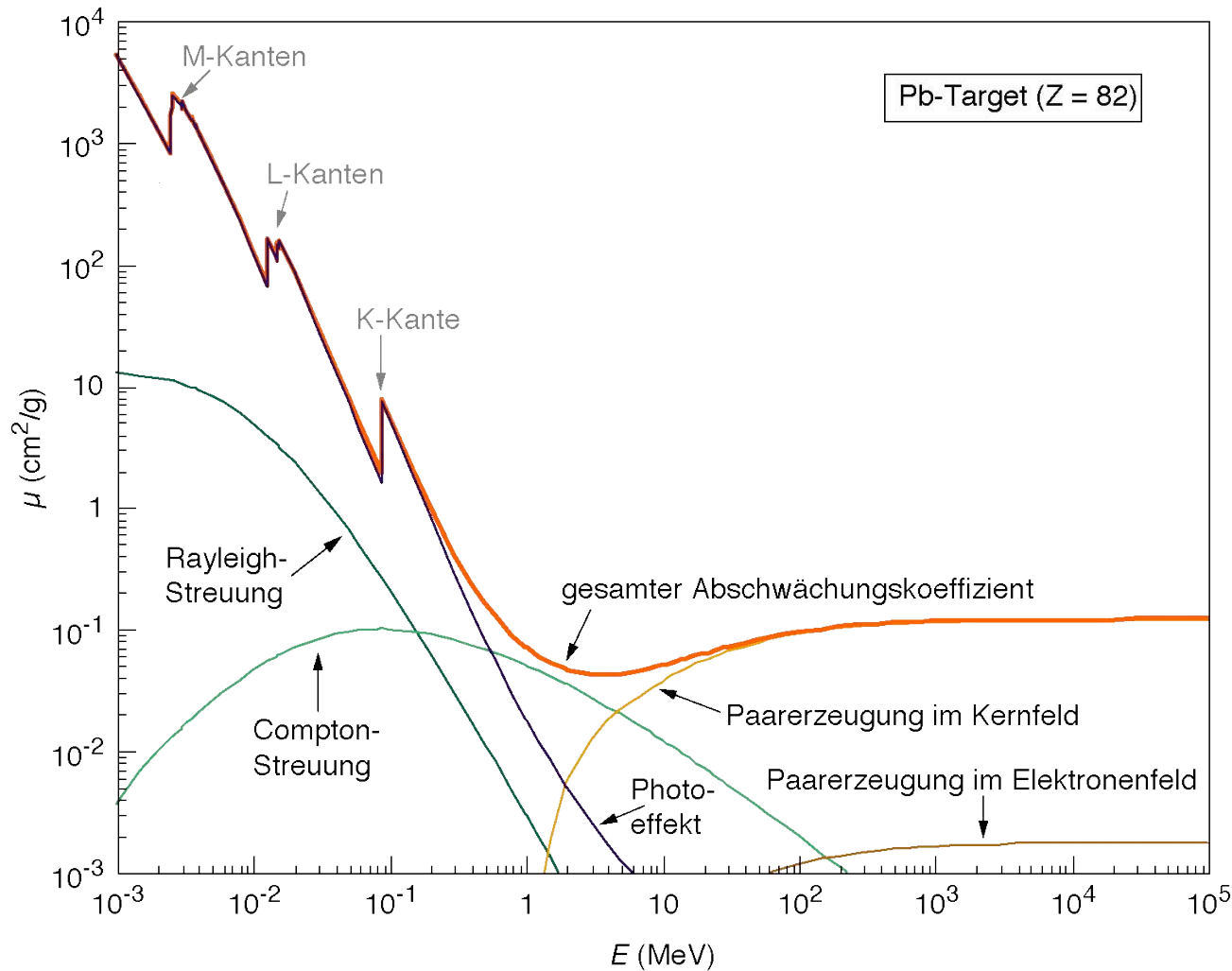
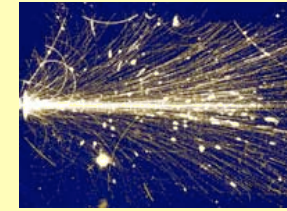
Der **Massenabsorptionskoeffizient**\*  $\mu$  enthält die Wirkungsquerschnitte  $\sigma_i$  für die einzelnen möglichen Wechselwirkungsprozesse der Photonen:

$$\mu = \frac{N_A \rho}{A} \sum_i \sigma_i$$

\* Streng genommen ist zu unterscheiden zw. Abschwächungs- und Absorptionskoeffizient. Bei zweiterem zählen nur Ww. wo Photonen absorbiert werden, bei ersterem auch Photonstreuung. Meist wird jedoch der Begriff "Massenabsorptionskoeffizient" zur Erfassung aller Ww. verwendet.

# 2.2 Wechselwirkung von Photonen

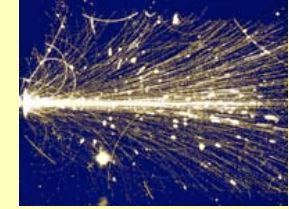
## Massenabschwächungskoeffizient



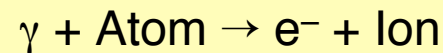
Quelle: <http://physics.nist.gov/PhysRefData/>  
berechnet mittels XCOM  
(Photon Cross Sections Database)

## 2.2.1 Photoeffekt

### Allgemeines



Das Photon wird von einem Elektron der Atomhülle absorbiert. Durch die übertragene Energie wird das Elektron freigesetzt:



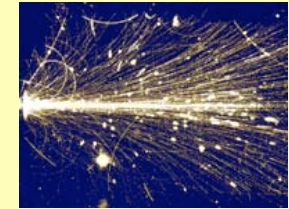
Aus Impulserhaltungsgründen ist dieser Prozess nur im Feld des Atomkerns, welcher den Rückstoß “auffängt”, möglich – d.h. freie Elektronen können kein Photon absorbieren. Die Energie des freiwerdenden Elektrons beträgt:

$$E_e = E_\gamma - \Phi = h\nu - \Phi$$

$E_e$	...	kinet. Energie des emittierten Elektrons
$E_\gamma$	...	Energie des einfallenden Photons, $E_\gamma = h\nu$
$\nu$	...	Frequenz des einfallenden Photons
$\Phi$	...	Bindungsenergie des Elektrons

## 2.2.1 Photoeffekt

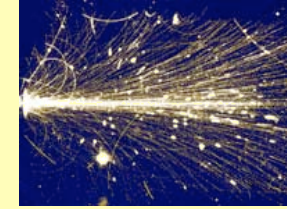
### Wirkungsquerschnitt – 1



- ★ Im Energieverlauf des Wirkungsquerschnittes für den Photoeffekt sieht man die **Schalenstruktur der Atome**.  $\sigma_{\text{photo}}$  steigt jedes Mal abrupt an, sobald die Energie des Photons ausreichend ist, um eine Ionisation durch Freisetzen von M-, L- bzw. K-Elektronen des Atoms auszulösen.
- ★ Für Photonenergien oberhalb der “K-Kante” **dominieren die Elektronen der K-Schale** den Photoeffekt.
- ★ Der Photoeffekt zeigt eine **starke Materialabhängigkeit**. Der Wirkungsquerschnitt steigt annähernd mit  $Z^5$ .
- ★ Wichtige Sekundärprozesse nach einem Photoeffekt sind die Emission von charakteristischer Röntgenstrahlung bzw. von Auger-Elektronen.

## 2.2.1 Photoeffekt

### Wirkungsquerschnitt – 2



**Born'sche Näherung** für den Wirkungsquerschnitt (gilt im mittleren Energiebereich, *nicht* nahe einer Absorptionskante und *nicht* im relativist. Bereich):

$$\sigma_{\text{photo}} = 4 \sqrt{2} \alpha^4 \sigma_0 Z^5 \left( \frac{m_e c^2}{E_\gamma} \right)^{7/2} \propto \frac{Z^5}{E_\gamma^{7/2}}$$

**Für hohe Energien** ( $E_\gamma \gg$  Bindungsenergie der K-Schalen-Elektronen) gilt näherungsweise:

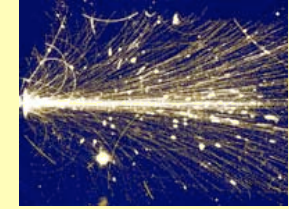
$$\sigma_{\text{photo}} = \frac{3}{2} \alpha^4 \sigma_0 Z^5 \frac{m_e c^2}{E_\gamma} \propto \frac{Z^5}{E_\gamma}$$

Dabei ist  $\sigma_0$  der sogenannte Thomson-Wirkungsquerschnitt (elastische Streuung von Photonen an Elektronen):

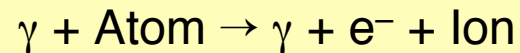
$$\sigma_0 = \frac{8\pi}{3} r_e^2 = 0.66 \text{ barn}$$

## 2.2.2 Compton-Streuung

### Allgemeines

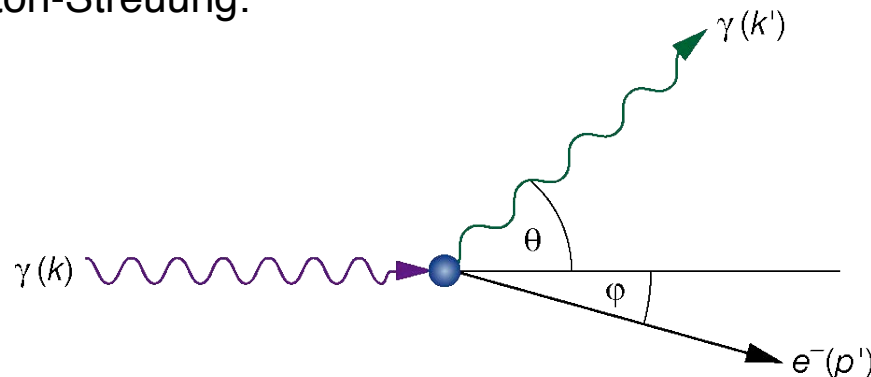


Der Compton-Effekt beschreibt die Streuung eines Photons an einem “quasi-freien” Elektron. (Ist die Photonenergie groß im Vergleich zur Bindungsenergie der Hüllenelektronen, so kann letztere vernachlässigt werden.)



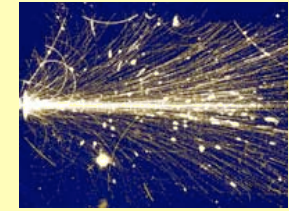
Das Photon wird von seiner ursprünglichen Bahn abgelenkt. Außerdem ändert sich durch den Energieübertrag an das Elektron seine Wellenlänge.

Kinematik der Compton-Streuung:



## 2.2.2 Compton-Streuung

### Energieübertrag



Die Energie des gestreuten Photons beträgt:

$$E'_\gamma = E_\gamma \left( 1 + \frac{E_\gamma}{m_e c^2} (1 - \cos \theta) \right)^{-1}$$

Dies entspricht einer Wellenlängenänderung von:

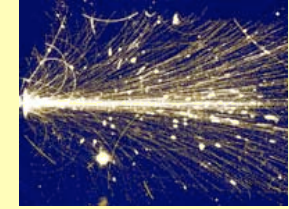
$$\Delta\lambda = \lambda' - \lambda = \frac{h}{m_e c} (1 - \cos \theta)$$

Für Detektoren ist die kinet. Energie des Elektrons eine wichtige Größe:

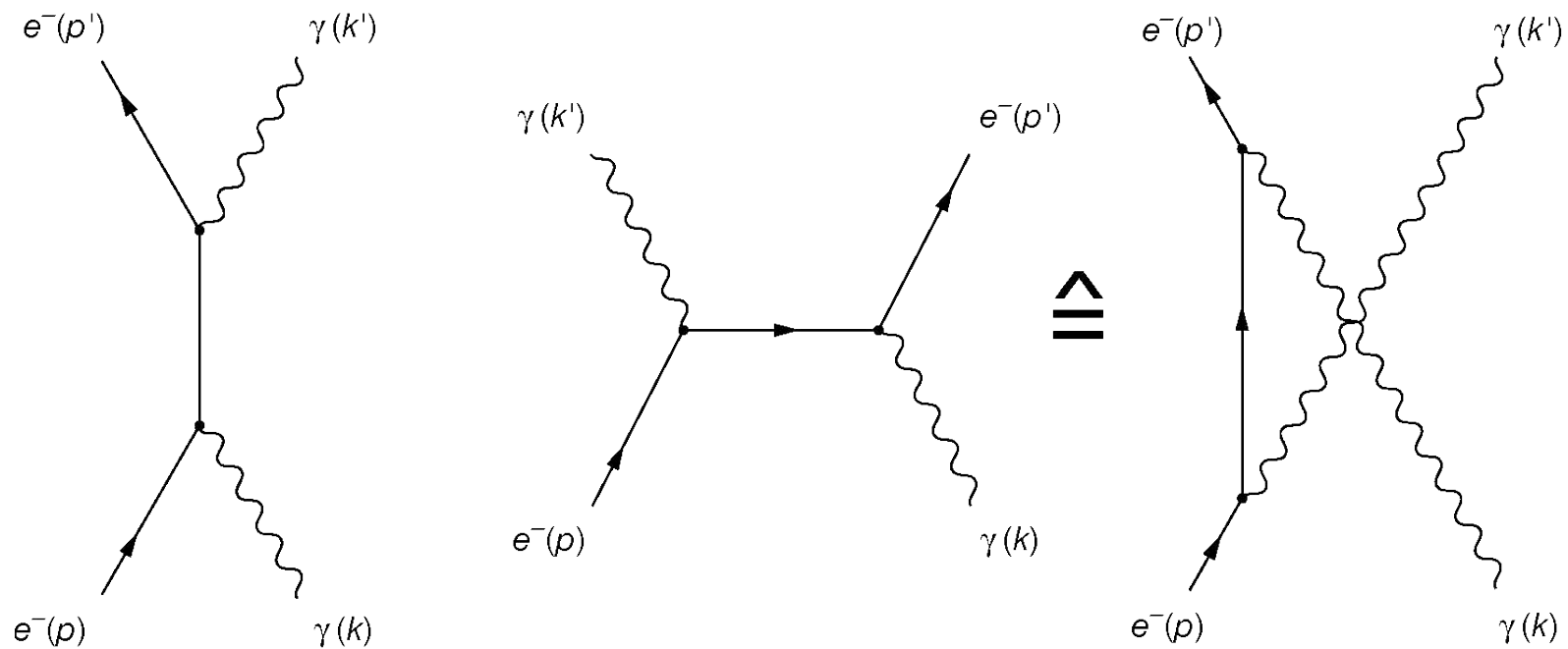
$$E_e = E_\gamma - E'_\gamma = E_\gamma \frac{\frac{E_\gamma}{m_e c^2} (1 - \cos \theta)}{1 + \frac{E_\gamma}{m_e c^2} (1 - \cos \theta)}$$

$E_e$	.....	kinet. Energie des emittierten Elektrons,	$m_e$ ...	Elektronmasse
$E_\gamma, \nu, \lambda$	.....	Energie, Frequenz, und Wellenlänge des einfallenden Photons,	$E_\gamma = h\nu = hc/\lambda$	
$E'_\gamma, \nu', \lambda'$	...	Energie, Frequenz, und Wellenlänge des gestreuten Photons		
$\theta$	.....	Streuwinkel des Photons		

## 2.2.2 Compton-Streuung Feynman-Graphen



Die Feynman-Graphen niedrigster Ordnung für die Compton-Streuung lassen sich wie folgt darstellen:

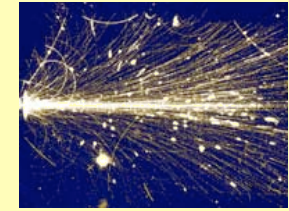


Dabei sind die letzten beiden Diagramme nur zwei verschiedene Darstellungsweisen desselben Feynman-Graphen.



## 2.2.2 Compton-Streuung

### Wirkungsquerschnitt: Klein-Nishina-Formel



Aus diesen Feynman-Graphen ergibt sich **Klein-Nishina-Formel** für den winkelabhängigen Streuquerschnitt eines Photons an *einem* Elektron:

$$\frac{d\sigma_c}{d\Omega} = \frac{r_e^2}{2} \frac{1}{[1 + \kappa(1 - \cos \theta)]^2} \left( 1 + \cos^2 \theta + \frac{\kappa^2(1 - \cos \theta)^2}{1 + \kappa(1 - \cos \theta)} \right)$$

$\kappa = E_\gamma / m_e c^2$  ... "reduzierte" Photonenergie

Integriert über den gesamten Raumwinkel ergibt sich (*pro Elektron*):

$$\sigma_c = 2\pi r_e \left\{ \frac{1 + \kappa}{\kappa^2} \left[ \frac{2(1 + \kappa)}{1 + 2\kappa} - \frac{1}{\kappa} \ln(1 + 2\kappa) \right] + \frac{1}{2\kappa} \ln(1 + 2\kappa) - \frac{1 + 3\kappa}{(1 + 2\kappa)^2} \right\}$$

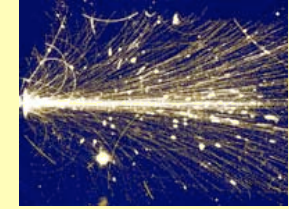
Weiters ist es sinnvoll, einen Energiestreuquerschnitt zu definieren:

$$\sigma_{cs} = \frac{E'_\gamma}{E_\gamma} \cdot \sigma_c$$

Damit gibt dann der sogenannte Energie-Absorptionsquerschnitt die Wahrscheinlichkeit an, mit der eine Energie  $E_e$  auf das  $e^-$  übertragen wird:

$$\sigma_{ca} = \sigma_c - \sigma_{cs}$$

## 2.2.3 Thomson und Rayleigh-Streuung



“Verwandt” mit der Compton-Streuung sind die Thomson- und die Rayleigh-Streuung.

Thomson-Streuung ist die Streuung von Photonen an freien Elektronen im klassischen Limit. Für niedrige Energien im Vergleich zu  $m_e$  reduziert sich die Klein-Nishina-Formel auf den Thomson-Streuquerschnitt:

$$\sigma_0 = \frac{8\pi}{3} r_e^2$$

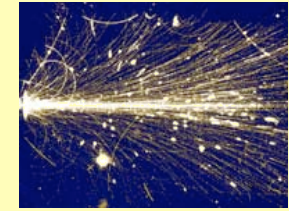
Rayleigh-Streuung andererseits ist die Streuung von Photonen an einem *gesamten Atom*. Dabei sind alle Hüllenelektronen in kohärenter Form beteiligt. Deshalb wird dieser Prozess oft auch kohärente Streuung genannt.

Beide Prozesse sind *elastische Streuungen*, d.h. es wird dabei *keine* Energie auf das Medium übertragen. Die Targetatome werden weder ionisiert noch angeregt, das gestreute Photon ändert nur seine Richtung.

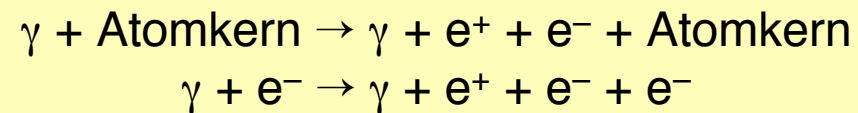
Für hohe Photonenergien ist der Anteil dieser Streuarten vernachlässigbar.

## 2.2.4 Paarerzeugung

### Allgemeines



Paarerzeugung ist die Produktion eines Elektron-Positron-Paares durch ein Photon. Aus Gründen der Impulserhaltung ist dieser Prozess nur im Coulomb-Feld eines Stoßpartners, welcher den Rückstoß aufnimmt, möglich. Der Stoßpartner kann ein Atomkern oder ein Elektron sein; die Paarerzeugung im Feld eines Elektrons ist jedoch gegenüber jener im Kernfeld stark unterdrückt.

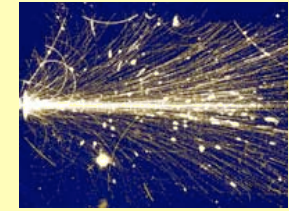


Das Photon muß mindestens die Ruhemasse des  $e^-e^+$ -Paares sowie die Rückstoßenergie aufbringen, d.h.:

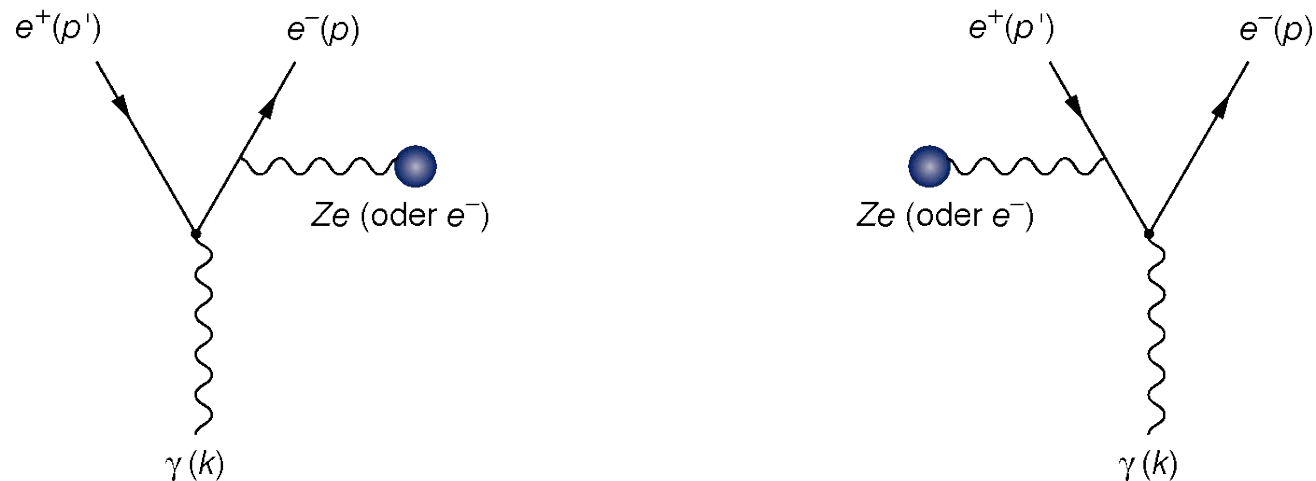
$$E_\gamma \geq 2m_e c^2 + 2 \frac{m_e^2}{m_{\text{Stoßpartner}}} c^2 > 1.022 \text{ MeV}$$

Bei hohen Energien dominiert die Paarerzeugung unter sämtlichen Photon-Materie-Wechselwirkungen.

## 2.2.4 Paarerzeugung Feynman-Graphen



Die Feynman-Graphen niedrigster Ordnung für die Paarerzeugung:

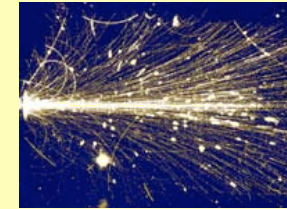


Die Paarerzeugung ist analog zur Bremsstrahlung. Die jeweiligen Feynman-Graphen können daher durch “Hinüberkreuzen” erhalten werden.

Auch der Wirkungsquerschnitt ist somit ähnlich dem der Bremsstrahlung. Er steigt mit steigender Photonenergie stark an und erreicht schließlich einen asymptotischen Wert.

## 2.2.4 Paarerzeugung

### Wirkungsquerschnitt für Paarerzeugung im Kernfeld



Für **relativ niedrige Energien** muß das Photon dem Atomkern sehr nahe kommen, um eine Paarerzeugung wahrscheinlich zu machen. In diesem Fall wechselwirkt das Photon mit dem “nackten” Kern. Der Wirkungsquerschnitt (pro Atom) in diesem Bereich hängt von der Photonenergie ab:

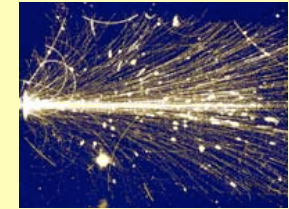
$$\sigma_{\text{pair,nucl}} = 4\alpha r_e^2 Z^2 \left[ \frac{7}{9} \ln\left(\frac{2E_\gamma}{m_e c^2}\right) - \frac{109}{54} \right] \quad \text{für} \quad 1 \ll \frac{E_\gamma}{m_e c^2} < \frac{1}{\alpha Z^{1/3}}$$

Für **sehr hohe Energien** ist Paarerzeugung auch bei großen Stoßparametern möglich. In diesem Fall muß aber die Abschirmung des Kernfeldes durch die Atomelektronen berücksichtigt werden. Der Wirkungsquerschnitt (pro Atom) strebt einem **energieunabhängigen Grenzwert** zu:

$$\sigma_{\text{pair,nucl}} = 4\alpha r_e^2 Z^2 \left[ \frac{7}{9} \ln\left(\frac{183}{Z^{1/3}}\right) - \frac{1}{54} \right] \quad \text{für} \quad \frac{E_\gamma}{m_e c^2} > \frac{1}{\alpha Z^{1/3}}$$

## 2.2.4 Paarerzeugung

### Gesamter Wirkungsquerschnitt und Freie Weglänge



Um näherungsweise auch die Paarerzeugung im Feld der Hüllenelektronen einzubeziehen, muß in der Formel für den Wirkungsquerschnitt einfach der Faktor  $Z^2$  durch  $Z(Z+1)$  ersetzt werden.

Für den gesamten Wirkungsquerschnitt pro Materialvolumen muß schließlich noch wie üblich mit der Anzahl der Atome,  $N_A \rho / A$ , multipliziert werden.

Aus dem gesamten Wirkungsquerschnitt kann man die **mittlere freie Weglänge** eines hochenergetischen Photons für Paarerzeugung berechnen:

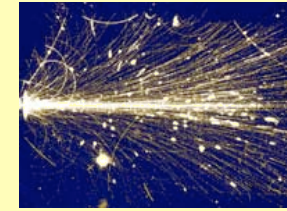
$$\lambda_{\text{pair}} = \frac{A}{N_A \rho} \frac{1}{\sigma_{\text{pair,atom}}}$$

Ein Vergleich mit der Strahlungslänge ergibt:

$$\lambda_{\text{pair}} = \frac{9}{7} X_0$$

## 2.3 Hadronische Wechselwirkungen

### Allgemeines



Unter hadronischen Ww. faßt man all jene Interaktionen eines einfallenden Hadrons mit einem Atomkern des Targets zusammen, welche auf der starken Wechselwirkung basieren.

Beachte:

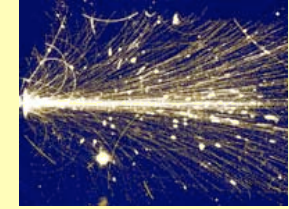
- ★ starke Ww. hat nur eine geringe Reichweite
- sehr geringe Wahrscheinlichkeit für hadronische Reaktionen
- Neutronen (können nur stark ww.) sind sehr durchdringend

Je nach Projektilenergie ist eine Vielzahl nuklearer Prozesse möglich, z.B.:

- ★ Elastische Streuung:  $A(n,n)A$
- ★ Inelastische Streuung:  $A(n,n')A^*$ ,  $A(n,2n)B \dots$   
(Kern ist angeregt → nachfolgende Emission von  $\gamma$ -Strahlung)
- ★ Neutroneneinfang:  $n+(Z,A) \rightarrow \gamma+(Z,A+1)$
- ★ Reaktionen mit Abstrahlung geladener Teilchen:  
 $(n,p)$ ,  $(n,d)$ ,  $(n,\alpha)$ ,  $(n,t)$ , ...
- ★ Kernspaltung (fission)

## 2.3 Hadronische Wechselwirkungen

### Wirkungsquerschnitt, Kollisionlänge, Absorptionslänge



Der gesamte hadronische Wirkungsquerschnitt ergibt sich aus der Summe der Wirkungsquerschnitte für die einzelnen Prozesse:

$$\sigma_{\text{total}} = \sum_i \sigma_i = \sigma_{\text{elastic}} + \sigma_{n,n'} (\text{inelastic}) + \sigma_{\text{capture}} + \sigma_{\text{fission}} + \dots$$

Eine wichtige Größe ist die Kernwechselwirkungslänge oder **Kollisionlänge**:

$$\lambda_t = \frac{A}{N_A \rho} \frac{1}{\sigma_{\text{total}}}$$

Von ähnlicher Bedeutung wie die Strahlungslänge bei den elektromagnetischen Reaktionen ist bei hadronischen Reaktionen die **Absorptionslänge**:

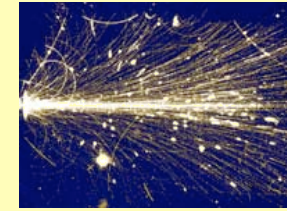
$$\lambda_a = \frac{A}{N_A \rho} \frac{1}{\sigma_{\text{inelastic}}}$$

$\sigma_{\text{inelastic}} = \sigma_{\text{total}} - \sigma_{\text{elastic}}$  ... *gesamter* inelastischer Wirkungsquerschnitt für hadronische Ww.

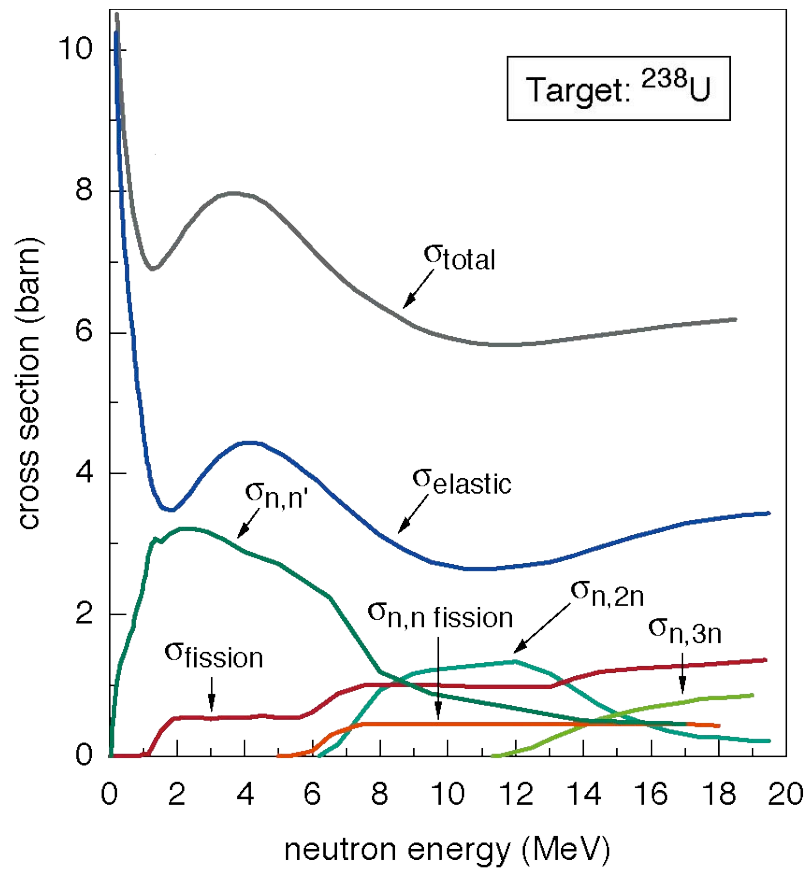


# 2.3 Hadronische Wechselwirkungen

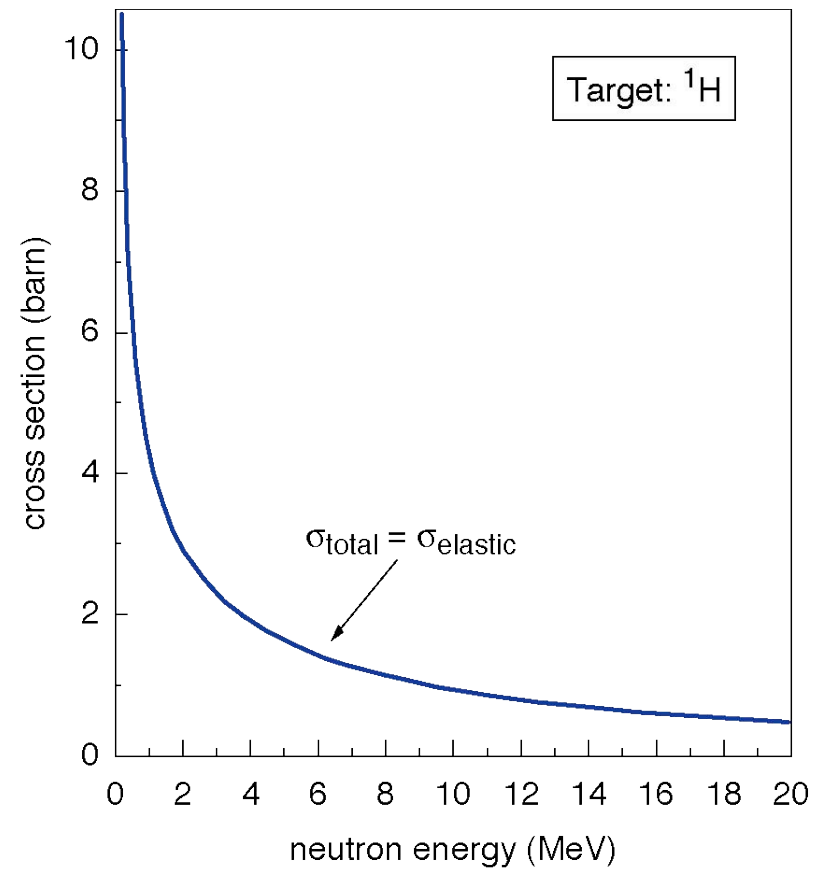
## Beispiele für Wirkungsquerschnitte – 1



Hadronische Wirkungsquerschnitte für hochenergetische Neutronen in Uran bzw. in Wasserstoff. (Für Uran sind nicht alle möglichen Teilreaktionen dargestellt.)

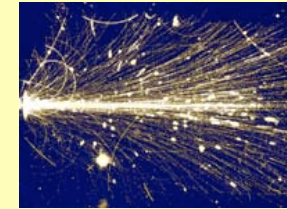


Quelle: <http://www-nds.iaea.org:8080/exfor/endl00.htm>  
berechnet mittels ENDF (Evaluated Nuclear DataFile)



## 2.3 Hadronische Wechselwirkungen

### Beispiele für Wirkungsquerschnitte – 2



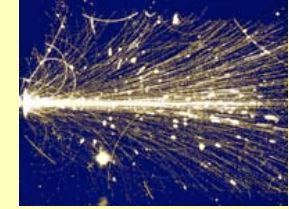
Wirkungsquerschnitte und Absorptionslängen für hochenergetische Neutronen ( $\approx 100$  GeV) in diversen Materialien:

Material	$\sigma_{\text{tot}}$ (barn)	$\sigma_{\text{inelastic}}$ (barn)	$\lambda_t \rho$ (g/cm <sup>2</sup> )	$\lambda_a \rho$ (g/cm <sup>2</sup> )	$\lambda_t$ (cm)
H <sub>2</sub>	0.0387	0.033	43.3	50.8	516.7
C	0.331	0.231	60.2	86.3	26.6
Al	0.634	0.421	70.6	106.4	26.1
Fe	1.120	0.703	82.8	131.9	10.5
Cu	1.232	0.782	85.6	134.9	9.6
Pb	2.960	1.77	116.2	194	10.2
Luft (STP)			62.0	90.0	51.5
H <sub>2</sub> O			60.1	83.6	60.1
Polystyrol			58.5	81.9	56.7

siehe z.B.: – C. Grupen, *Teilchendetektoren*, BI-Wissenschaftsverlag, 1993

## 2.4 Wechselwirkungen von Neutrinos

### Allgemeines



Neutrinos unterliegen nur der schwachen Wechselwirkung, die Wirkungsquerschnitte für Neutrinowechselwirkungen sind daher *extrem* klein.

Z.B. für 200 GeV Neutrinos:

$$\sigma_{\text{total}}(\nu, 200 \text{ GeV}) = 1.6 \cdot 10^{-36} \text{ cm}^2 = 1.6 \text{ pbarn}$$

Eine wichtige Rolle spielen Neutrinos z.B. beim Nachweis des W-Bosons:

$$W^+ \rightarrow l^+ + \nu_l \quad \text{bzw.} \quad W^- \rightarrow l^- + \bar{\nu}_l$$

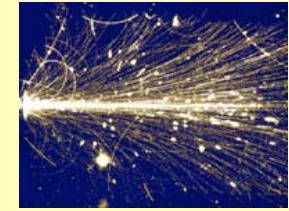
Dabei ist:  $l$  ... Lepton ( $e, \mu, \tau$ )

Aufgrund der extrem kleinen Wirkungsquerschnitte hat man im allgemeinen kaum eine Chance, ein Neutrino in einem Detektor nachzuweisen. Man bedient sich daher speziell in Kollisionsexperimenten eines experimentellen Tricks, dem Nachweis über die **“fehlende Energie”**:

Man konstruiert den Detektor völlig hermetisch, sodaß eine Energie/Impuls-Bilanz aufgestellt werden kann. Der fehlende Energie-Impuls-Vektor wird einem entweichenden Neutrino zugewiesen.

## 2.4 Wechselwirkungen von Neutrinos

### Neutrinodektoren



Will man Neutrinos direkt nachweisen, bedarf es *extrem massiver* Targets und hoher Neutrino Flüsse um nennenswerte Reaktionsraten zu erhalten.

U.a. folgende Reaktionen kommen für den direkten Neutrino nachweis in Frage:

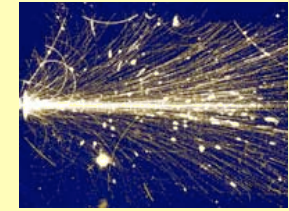


Dabei ist:  $l$  ... Lepton ( $e, \mu, \tau$ )

Primär für den Nachweis kosmischer Neutrinos hat man riesige Neutrino detektoren gebaut. Um nur einige zu nennen:

- ★ Gran Sasso National Laboratory (LNGS) mit seinen diversen Experimenten (Gran Sasso Massiv, Itale) <http://www.lngs.infn.it/>
- ★ Kamiokande und Super-Kamiokande (Mozumi Mine, Gifu, Japan) <http://www-sk.icrr.u-tokyo.ac.jp/doc/sk/super-kamiokande.html>
- ★ Sudbury Neutrino Observatory (SNO, Creighton Mine, Ontario, Kanada) <http://www.sno.phy.queensu.ca/>
- ★ AMANDA und AMANDA-II (Amundsen-Scott South Pole Station, Antarktis) <http://www.amanda.uci.edu/>

# Nützliche Referenzen



- ★ dE/dx-Kurven für verschiedenste Projektil-Target-Kombinationen, sowie Strahlungslängen etc. (auch physikal. Konstanten) findet man bei:  
<http://physics.nist.gov/PhysRefData/>
- ★ Unter anderem ein gutes Portal zu Datenbanken mit diversen Wirkungsquerschnitten etc. bietet eine Website der internat. Atomenergiebehörde:  
<http://www-nds.iaea.org/>
- ★ Daten zu sämtlichen bekannten Elementarteilchen, wichtige Daten betreffend Energieverlust und vieles mehr:  
<http://pdg.lbl.gov>
- ★ Die Homepage vom CERN ist ein guter Ausgangspunkt sowohl für Experten als auch für an Populärwissenschaftlichem Interessierten:  
<http://www.cern.ch>
- ★ Ebenso natürlich die Homepages anderer Beschleunigerzentren wie z.B.:  
<http://www.desy.de>, <http://www.fnal.gov>, <http://www.slac.stanford.edu>